

PRZEMYSŁOWY INSTYTUT AUTOMATYKI I POMIARÓW  
MERA-PIAP  
Al. Jerozolimskie 202 02-222 Warszawa Telefon 23-70-81

Ośrodek Badań Niezawodności i Jakości

Centralna Stacja Prób

BE 10

Główny wykonawca

Wykonawcy mgr inż. E. Trepczyński, tech. tech. H. Michniewicz,  
Wł. Szymański.

Konsultant

Nr zlecenia

1055

Opracowanie typoszeregu osuszaczy  
sprężonego powietrza dla pneumatycz-  
nych układów napędu i sterowania  
pneumatycznego.

Badania prototypu.

Zleceniodawca OBREiUP - Kielce

Pracę rozpoczęto dnia 87.05.27  
Kierownik CSP

mgr inż. E. Trepczyński

Z-ca Dyrektora  
d/s Pomiarów

dr inż. J. Winiecki

zakończono dnia 87.11.30  
Kierownik OBN

dr inż. St. Budzyński

Praca zawiera:

stron 4

rysunków 3

fotografii

tabel 2

tablic

załączników 2

Rozdzielnik - ilość egz:

Egz. 1 BOINTE

Egz. 2 OBREiUP

Egz. 3 OBN

Egz. 4 OAM

Egz. 5

Egz. 6

Nr rejestr. 5975

## **Analiza deskryptorowa**

PNEUMATYKA. PRZYGOTOWANIE POWIETRZA. OSUSZANIE SPRĘŻONEGO POWIETRZA.

## **Analiza dokumentacyjna**

Sprawozdanie zawiera opis i wyniki badań prototypu osuszacza powietrza.

## **Tytuły poprzednich sprawozdań**

Opracowanie typoszeregu osuszaczy sprężonego powietrza dla pneumatycznych układów napędu i sterowania pneumatycznego. P.kontr.1 "Opracowanie założeń i badanie modelu wybranej wielkości osuszaczy" - nr rej. 5800

521.5 PNEUMATYKA.

**UKD**

PIAP-252/83-6000

## 1. Wstęp

### 1.1. Przedmiot i cel badań

Przedmiotem badań był prototyp osuszacza powietrza o założonej wydajności  $200 \text{ Nm}^3/\text{h}$  przeznaczony dla układów napędu i sterowania pneumatycznego.

Celem badań było stwierdzenie poprawności działania osuszacza oraz uzyskanie podstawowych danych o jego parametrach technicznych.

Zakres badań obejmował:

- spr. szczelności przy ciśnieniu 1 MPa
- spr. natężenia przepływu sprężonego powietrza przy ciśnieniu 0,6 MPa
- spr. skuteczności osuszania sprężonego powietrza
- spr. działania osuszacza w warunkach pracy ciągłej /8 h/

### 1.2. Podstawa badań

- sprawozdanie OAM nr rej. 5800 P.K. nr 1 "Opracowanie założeń i badania modelu wybranej wielkości osuszaczy"
- korespondentka OAM z dn. 27.05.87.

### 1.3. Aparatura użyta do badań

Do budowy stanowisk pomiarowych użyto następującej aparatury:

- przepływomierz turbinowy prod. PIAF typ PTE-2 zakres  $0-900 \text{ Nm}^3/\text{h}$
- hygrometr RHT-100 f-my WITRATTEMP dokł. 0,1 %
- termometry rtęciowe - zakres  $0-100^\circ\text{C}$ , działka elem.  $0,1^\circ\text{C}$ , dokładność 0,5 %
- manometry sprężynowe  $\varnothing 160$  zakr.  $0-1 \text{ MPa}$ , kl. 0,5 prod. KFM
- nawilżacz eżektorowy wykonany w OBN /rys. nr 3/.

## 2. Wyniki badań

### 2.1. Sprawdzenie szczelności

Sprawdzenie szczelności osuszacza wykonano doprowadzając do wlotu ciśnienie 1 MPa przy zasłepionym wylocie. Następnie odcięto zasilanie i na manometrze wejściowym obserwowano spadek ciśnienia przez 1 minutę. Nie stwierdzono spadku ciśnienia co świadczy o całkowitej szczelności osuszacza.

## 2.2. Sprawdzenie natężenia przepływu

Określenia wartości natężenia przepływu sprężonego powietrza wyjściowego z osuszacza dokonano na stanowisku pomiarowym przedstawionym na rys.1.

Pomiaru nominalnego natężenia przepływu dokonano przy użyciu przepływomierza turbinkowego o zakresie pomiarowym  $900 \text{ Nm}^3/\text{h}$ .

Pomiary wykonano przy różnych nastawach ciśnienia zasilania  $P_z$  /0,6 MPa, 0,55 MPa, i 0,4 MPa/ przy jednakowym ustawieniu spadków ciśnienia 0,04 MPa.

Wyniki pomiarów zestawiono w poniższej tabeli nr 1:

Tabela 1

$P_1$	$P_2$	$\Delta P$	$Q$
MPa			$\text{Nm}^3/\text{h}$
0,60	0,56	0,04	318
0,55	0,51	0,04	257
0,40	0,36	0,04	136

Graficzny wykres wydatku osuszacza w funkcji ciśnienia zasilania przedstawiono na wykresie 1.

## 2.3. Sprawdzenie skuteczności osuszania sprężonego powietrza

Sprawdzenia dokonano na stanowisku pomiarowym zbudowanym w OBN/PIAP. Schemat stanowiska przedstawiono na rys.2.

Stanowisko zapewniało badanie skuteczności osuszania sprężonego powietrza przy zasilaniu 0,6 i 0,4 MPa i przepływie sprężonego powietrza do ok.  $200 \text{ m}^3/\text{h}$ .

Wymagane nawilżanie zapewniało podawanie ze smarownicy wypełnionej wodą do nawilżacza eżektorowego kropel wody, gdzie zostawały rozbite na mgłę i po podgrzaniu w nagrzewnicy doprowadzone do stanu pary /schemat układu nawilżacza eżektorowego podano na rys.3/.

Na wejście osuszacza sprężonego powietrza doprowadzano powietrze o regulowanej wilgotności powietrza wejściowego .

Wyniki pomiarów skuteczności osuszania zestawiono w tabeli nr 2.

Następnie wykonano pomiary skuteczności osuszania przy różnych nastawach natężenia przepływu powietrza przepływającego przez osuszacz przy ciśnieniu zasilania  $P_z = 0,6 \text{ MPa}$ , wilgotności powie-

trza 75 %. Stwierdzono każdorazowo, że przy nastawie termostatu 3°C osuszanie następuje do wartości:

- przy natężeniu przepływu 210 m<sup>3</sup>/h do  $\varphi = 35 \% \text{ Ww}$
- " " 135 m<sup>3</sup>/h do  $\varphi = 35 \% \text{ Ww}$
- " " 90 m<sup>3</sup>/h do  $\varphi = 36 \% \text{ Ww}$

Uzyskane wyniki wskazują na dużą skuteczność osuszania powietrza przez badany prototyp osuszacza w szerokim zakresie wartości natężeń przepływu.

#### 2.4. Sprawdzenie działania osuszacza w warunkach pracy ciągłej

Badany osuszacz przy nastawie termostatu 3°C podłączony do instalacji sprężonego powietrza uruchomiono na pracę ciągłą zapewniając warunki:

- stałe ciśnienie powietrza wlotowego 0,6 MPa
- wilgotność powietrza 75 %, temperatura powietrza 14°C
- natężenie przepływu 200 Nm<sup>3</sup>/h.

Podczas próby dokonano pomiaru ilości wykroplonej wody przez odwadniacze, w obu stopniach osuszacza. Ilość zebranej wody w ciągu 8 h pracy wynosiła:

- I stopień 6750 ml
  - II stopień 900 ml
- łącznie 7650 ml.

W czasie próby mierzono w sposób ciągły parametry powietrza wylotowego po przejściu przez osuszacz. Wynosiły one:

- wilgotność wzgl. 36 %
- temperatura 11,7°C

i utrzymywały się bez zmian przez cały okres próby.

Jednocześnie dokonano pomiaru ilości załączeń agregatu chłodziarki i czasu jej pracy i okresu przerw między załączeniami.

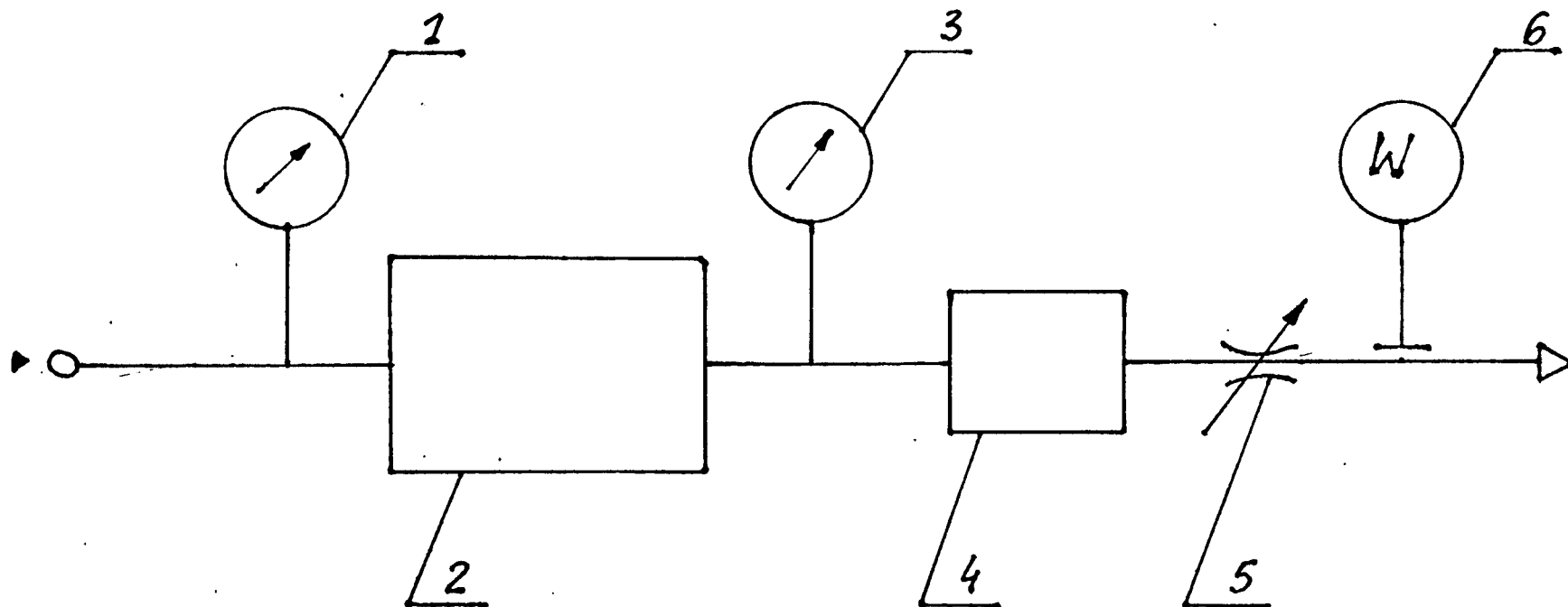
Wyniosły one:

- ilość zadziałań 47 na 8 h pracy osuszacza
- czas pracy agregatu chłodziarki 2'20" ±10"
- okres przerwy między wyłączeniami i załączeniem agregatu 6'50" ±15"

Graficzny przebieg pracy agregatu osuszacza - na wykresie 2.

### 3. Orzeczenie

Badany prototyp osuszacza sprężonego powietrza "typ B" dla pneumatycznych układów napędu i sterowania pneumatycznego przeszedł pomyślnie próby i spełnia /z zapasem/ oczekiwane założeniami parametry techniczne. W czasie próby pracy ciągłej osuszacz nie wykazywał żadnych usterek w pracy, a automatyczny spływ wykroplonej wody odbywał się bez zakłóceń.



1 - manometr zakres  $0 \div 1 \text{ MPa}$  kl. 0,5  $P_1$

2 - badany osuszacz

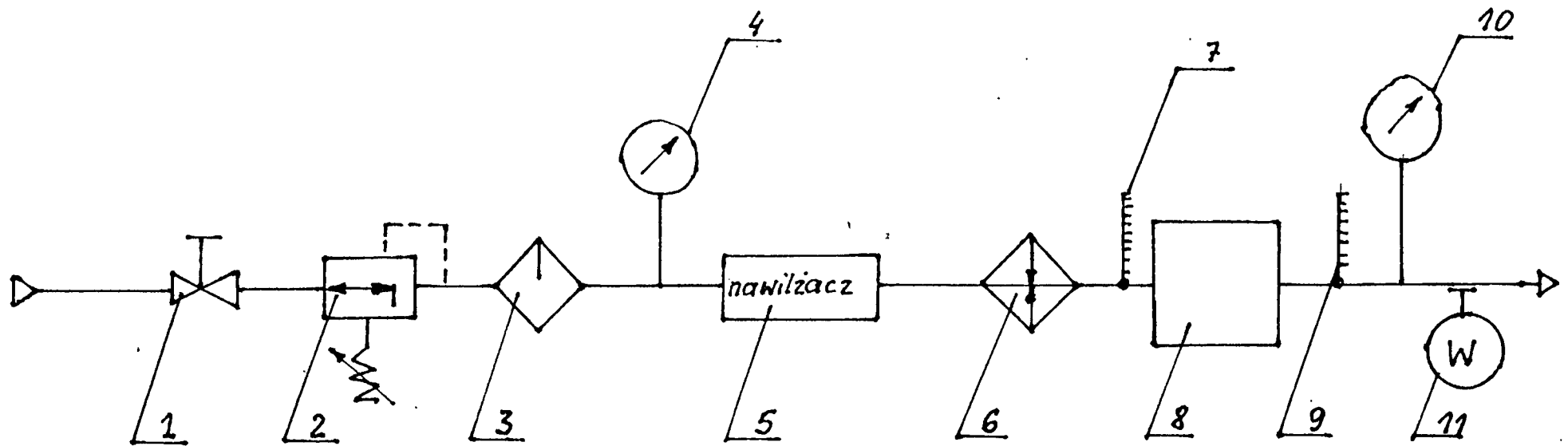
3 - manometr zakres  $0 \div 1 \text{ MPa}$  kl. 0,5  $P_2$

4 - przepływomierz turbinkowy zakres  $0 \div 900 \text{ Nm}^3/\text{h}$

5 - zawór dławiący.

6 - wilgotnościomierz.

Rys 1



1 - zawór odcinający

2 - zawór redukcyjny

3 - smarownica

4 - manometr zakres 0 ÷ 1 MPa

5 - nawilżacz

6 - nagrzewnica

8 - badany osuszacz

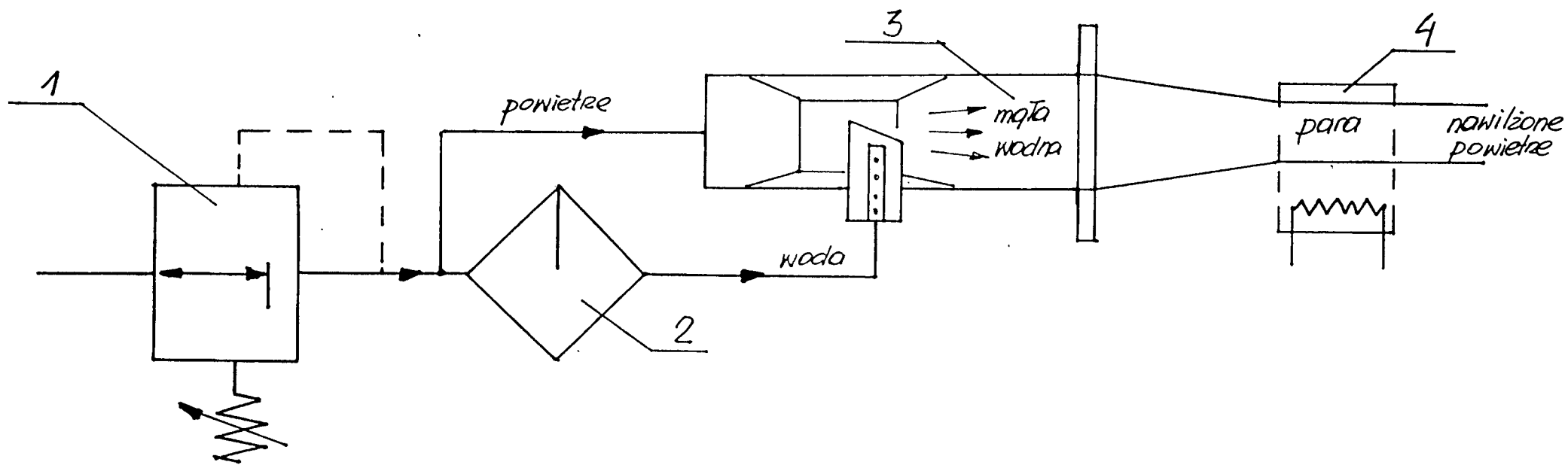
7 - termometr

9 - termometr

10 - manometr zakres 0 ÷ 1 MPa

11 - wilgotnościomierz





1. Zawór redukcyjny
2. Smarownica z wodą
3. Nawilżacz eżektorowy
4. Nagrzewnica - moc łączna 4.6 kW.

Rys. 3 Schemat układu nawilżacza

LP.	P wlot [MPa]	temp. pow. wlot [°C]	φ wlot [% Ww]	φ wylot [% Ww]	temp. pow. wylot [°C]	nastawa termostatu t <sub>n</sub> [°C]	Przepływ powietrza-Q [Nm <sup>3</sup> /h]	Warunki dodatkowe
1	0.6	16.2	85	47	12.6	3	~150	nawilżanie
2	0.4	16.0	85	45	13.0	3	~130	-"-
3	0.6	29.4	85	50	25.6	3	~150	-"-
4	0.4	29.6	85	48	25.9	3	~130	-"-
5	0.6	21.0	70	43	17.8	3	~150	bez nawilżania
6	0.4	21.0	70	40	17.8	3	~130	-"-
7	0.6	29.7	70	42	25.9	3	~150	-"-
8	0.4	29.9	70	41	26.4	3	~130	-"-

$Q$  osuszacza przy  $\Delta P_z = 0.04 \text{ MPa}$

$P_z$  [MPa]

0.6

0.5

0.4

0.3

0.2

0.1

100

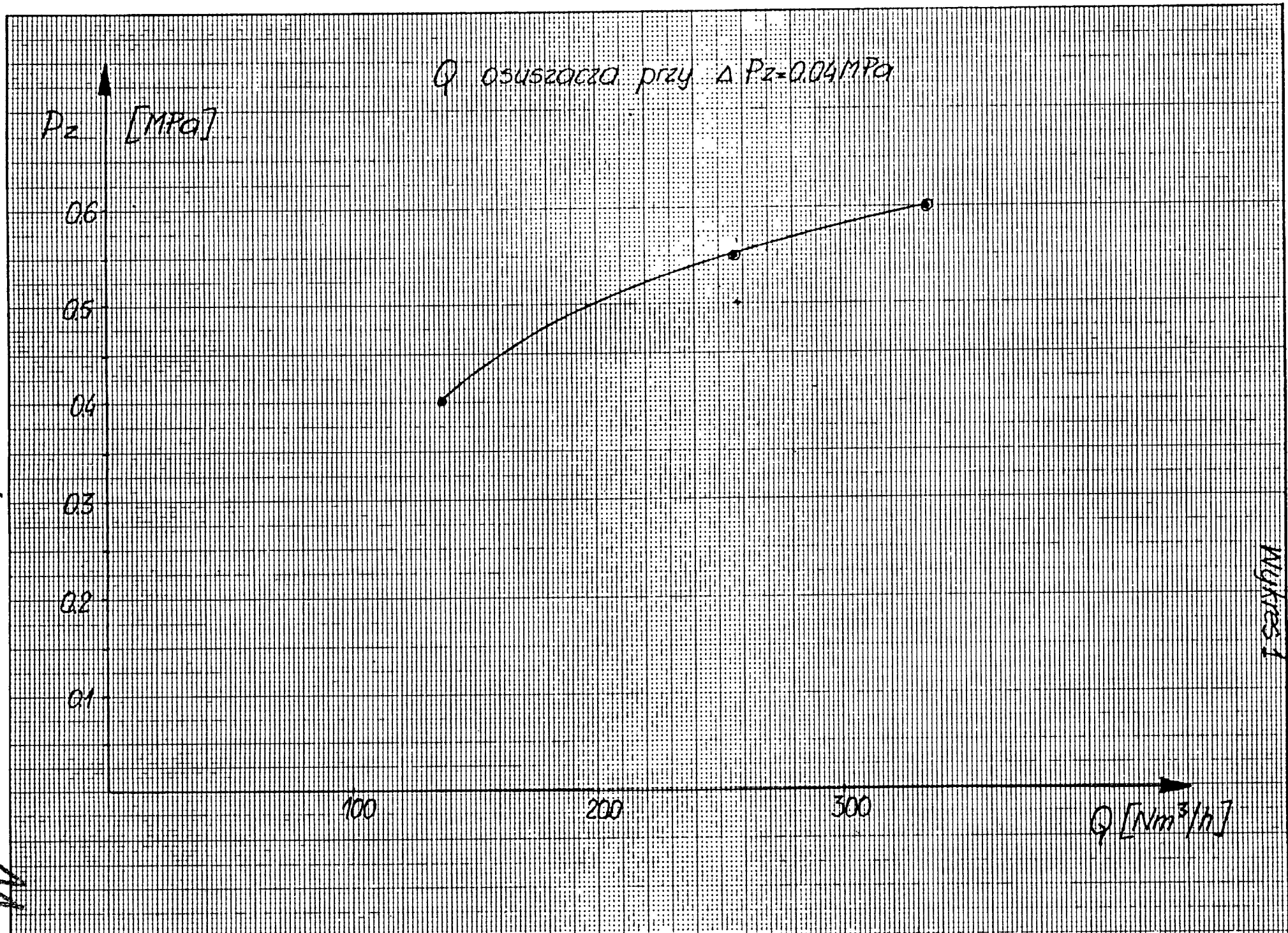
200

300

$Q$  [ $\text{Nm}^3/\text{h}$ ]

Wykres 1

KV



Praca osuszacza przy

$P_2 = 0.6 \text{ MPa}$

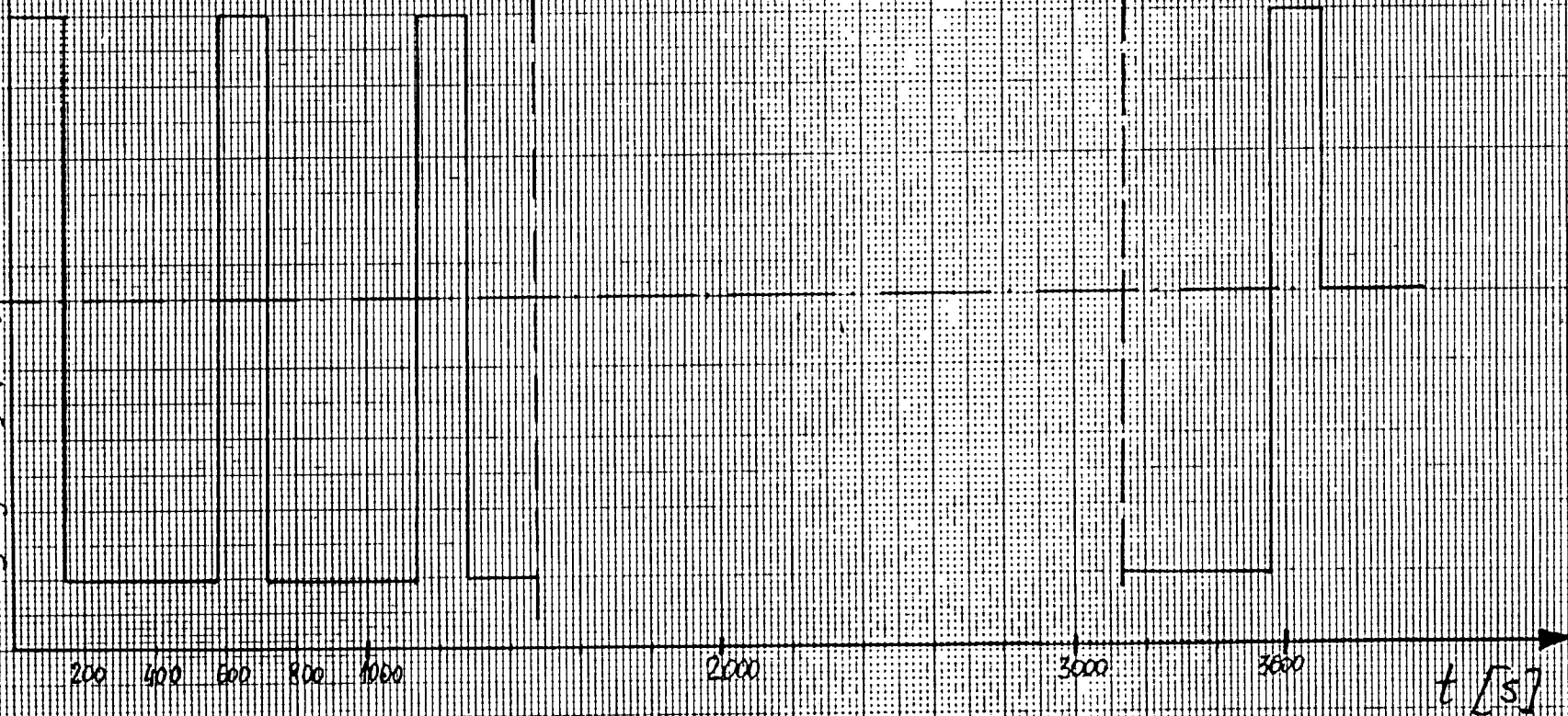
$W_w = 70\%$

nastawa termostatu  $3^\circ$

$Q \approx 200 \text{ Nm}^3/\text{h}$

praca ogrzewania

rozruch i praca



Nakres 2

121